

Régression linéaire généralisée PLS

Philippe Bastien⁽¹⁾, Vincenzo Esposito Vinzi⁽²⁾, Michel Tenenhaus⁽³⁾

(1) L'Oréal Recherche (Aulnay), (2) Université Federico II (Naples), (3) Groupe HEC (Jouy-en-Josas)

Introduction

La régression PLS univariée est un modèle non linéaire reliant une variable dépendante y à un ensemble de variables indépendantes quantitatives ou qualitatives x_1, \dots, x_p . Elle peut être obtenue par une suite de régressions simples et multiples. En exploitant les tests statistiques associés à la régression linéaire, il est possible de sélectionner les variables explicatives significatives à conserver dans la régression PLS et de choisir le nombre de composantes PLS à retenir. Le principe de l'algorithme présenté dans cette note peut également être utilisé pour obtenir une extension de la régression PLS à la régression linéaire généralisée PLS. Nous étudierons en détail la modification obtenue de la régression PLS usuelle, le cas de la régression logistique PLS et une utilisation de la régression linéaire généralisée PLS en données de survie. Les méthodes présentées seront illustrées par des exemples.

La régression PLS usuelle est issue d'une utilisation itérative des moindres carrés ordinaires et PLS est l'acronyme de *Partial Least Squares*. La régression linéaire généralisée PLS est construite sur une utilisation itérative du maximum de vraisemblance et PLS devient alors l'acronyme de *Projection onto Latent Structure*.

Brian Marx (1996) a proposé d'estimer les paramètres d'une régression linéaire généralisée en utilisant la régression PLS dans l'algorithme des moindres carrés pondérés itéré utilisé pour maximiser la vraisemblance. L'approche développée dans cette note est beaucoup plus simple, nécessite très peu de programmation nouvelle et est facilement généralisable à tous les modèles linéaires au niveau des variables explicatives.

I. Présentation de la régression PLS

On suppose que les variables y, x_1, \dots, x_p sont toutes centrées.

Le modèle de la régression PLS à m composantes s'écrit :

$$(1) \quad y = \sum_{h=1}^m c_h \left(\sum_{j=1}^p w_{hj}^* x_j \right) + \text{résidu}$$

avec la contrainte que les composantes PLS $t_h = \sum_{j=1}^p w_{hj}^* x_j$ soient orthogonales. On peut considérer que les paramètres c_h et w_{hj}^* du modèle (1) sont des paramètres à estimer. D'où le côté non linéaire du modèle.

La régression PLS (Wold, Martens & Wold, 1983, Tenenhaus, 1998) est un algorithme d'estimation des paramètres du modèle (1) que nous allons re-décrire en reliant chaque étape de calcul à une régression linéaire simple ou multiple.

Calcul de la première composante PLS t_1

La première composante $t_1 = Xw_1^*$ est définie par

$$(2) \quad t_1 = \frac{1}{\sqrt{\sum_{j=1}^p \text{cov}(y, x_j)^2}} \sum_{j=1}^p \text{cov}(y, x_j) x_j$$

La quantité $\text{cov}(y, x_j)$ est aussi le coefficient de régression a_{1j} dans la régression simple reliant la variable y à la variable $x_j/\text{var}(x_j)$:

$$(3) \quad y = a_{1j}(x_j/\text{var}(x_j)) + \text{résidu}$$

En effet :

$$a_{1j} = \frac{\text{cov}(y, \frac{1}{\text{var}(x_j)} x_j)}{\text{var}(\frac{1}{\text{var}(x_j)} x_j)} = \text{cov}(y, x_j)$$

Un test sur le coefficient de régression a_{1j} permet donc d'évaluer l'importance de la variable x_j dans la construction de t_1 . Ceci dit on pourrait tout aussi bien étudier la régression simple de y sur x_j :

$$(4) \quad y = a'_{1j} x_j + \text{résidu}$$

Les tests portant sur la nullité des a_{1j} et a'_{1j} sont naturellement équivalents.

Dans la formule (2) on pourrait remplacer par 0 les covariances non significatives.

Calcul de la deuxième composante PLS t_2

On construit les régressions simples de y et des x_j sur t_1 :

$$(5) \quad y = c_1 t_1 + y_1$$

et pour chaque $j = 1$ à p

$$(6) \quad x_j = p_{1j} t_1 + x_{1j}$$

La deuxième composante t_2 est définie par

$$(7) \quad t_2 = \frac{1}{\sqrt{\sum_{j=1}^p \text{cov}(y_1, x_{1j})^2}} \sum_{j=1}^p \text{cov}(y_1, x_{1j}) x_{1j}$$

La quantité $\text{cov}(y_1, x_{1j})$ est aussi le coefficient de régression a_{2j} dans la régression multiple reliant la variable y aux variables t_1 et $x_{1j}/\text{var}(x_{1j})$:

$$(8) \quad y = c_{1j}t_1 + a_{2j}(x_{1j}/\text{var}(x_{1j})) + \text{résidu}$$

Ce résultat provient de l'orthogonalité entre le résidu x_{1j} et la composante t_1 .

La corrélation partielle entre y et x_j conditionnellement à t_1 est définie comme la corrélation entre les résidus y_1 et x_{1j} . De même la covariance partielle entre y et x_j conditionnellement à t_1 est définie comme la covariance entre les résidus y_1 et x_{1j} :

$$(9) \quad \text{cov}(y, x_j | t_1) = \text{cov}(y_1, x_{1j})$$

D'où une autre écriture de la deuxième composante PLS :

$$(10) \quad t_2 = \frac{1}{\sqrt{\sum_{j=1}^p \text{cov}(y, x_j | t_1)^2}} \sum_{j=1}^p \text{cov}(y, x_j | t_1) x_{1j}$$

Un test sur le coefficient de régression a_{2j} permet d'évaluer l'importance de la variable x_{1j} dans la construction de t_2 . On pourrait aussi tester l'apport de la variable x_j à la construction de la deuxième composante PLS en étudiant directement la régression de y sur t_1 et x_j :

$$(11) \quad y = c'_{1j} t_1 + a'_{2j} x_j + \text{résidu}$$

Les tests portant sur la nullité de a_{2j} et a'_{2j} sont équivalents car les vecteurs (t_1, x_{1j}) et (t_1, x_j) engendrent le même espace.

Dans la formule (7) on pourrait remplacer par 0 les covariances non significatives.

La composante t_2 peut aussi s'exprimer en fonction des variables d'origine x_j puisque les résidus $x_{1j} = x_j - p_{1j}t_1$ sont fonctions des x_j . La composante t_2 exprimée en fonction des x_j s'écrit $t_2 = X w_2^*$.

Calcul des autres composantes et règle d'arrêt

On procède de la même manière pour le calcul des autres composantes $t_h = X w_h^*$. On arrête en utilisant une procédure de validation croisée (cf. SIMCA-P) ou bien lorsque toutes les covariances partielles sont non significatives.

Formule de régression PLS

Dans la formule (1) on estime les coefficients c_h par régression multiple de y sur les composantes PLS t_h . L'équation de régression estimée peut ensuite s'exprimer en fonction des variables d'origine x_j :

$$\begin{aligned}
 \hat{y} &= \sum_{h=1}^m c_h \left(\sum_{j=1}^p w_{hj}^* x_j \right) \\
 (12) \quad &= \sum_{j=1}^p \left(\sum_{h=1}^m c_h w_{hj}^* \right) x_j \\
 &= \sum_{j=1}^p b_j x_j
 \end{aligned}$$

II. Application

Nous allons étudier l'exemple des données de Cornell présenté dans Kettaneh-Wold (1992) et repris dans Tenenhaus (1998). Il s'agit de douze échantillons d'essence dont on connaît la composition donnée en proportion dans le tableau 1. On veut déterminer l'influence du mélange sur l'indice d'octane y . Les corrélations entre les variables sont données dans le tableau 2.

Description des variables :

Y	=	Indice d'octane
x ₁	=	Distillation directe (compris entre 0 et .21)
x ₂	=	Réformat (compris entre 0 et .62)
x ₃	=	Naphta de craquage thermique (compris entre 0 et .12)
x ₄	=	Naphta de craquage catalytique (compris entre 0 et .62)
x ₅	=	Polymère (compris entre 0 et .12)
x ₆	=	Alkylat (compris entre 0 et .74)
x ₇	=	Essence naturelle (compris entre 0 et .08)

La somme des x_j est égale à 1 pour chaque échantillon d'essence.

Tableau 1 : Données de Cornell

	x1	x2	x3	x4	x5	x6	x7	y
	.00	.23	.00	.00	.00	.74	.03	98.70
	.00	.10	.00	.00	.12	.74	.04	97.80
	.00	.00	.00	.10	.12	.74	.04	96.60
	.00	.49	.00	.00	.12	.37	.02	92.00
	.00	.00	.00	.62	.12	.18	.08	86.60
	.00	.62	.00	.00	.00	.37	.01	91.20
	.17	.27	.10	.38	.00	.00	.08	81.90
	.17	.19	.10	.38	.02	.06	.08	83.10
	.17	.21	.10	.38	.00	.06	.08	82.40
	.17	.15	.10	.38	.02	.10	.08	83.20
	.21	.36	.12	.25	.00	.00	.06	81.40
	.00	.00	.00	.55	.00	.37	.08	88.10

Tableau 2 : Le tableau des corrélations

Pearson Correlation Coefficients, N = 12
Prob > |r| under H0: Rho=0

	Y	X1	X2	X3	X4	X5	X6	X7
Y	1.00000	-0.83730 0.0007	-0.07082 0.8269	-0.83796 0.0007	-0.70671 0.0102	0.49380 0.1028	0.98507 <.0001	-0.74112 0.0058
X1	-0.83730 0.0007	1.00000	0.10420 0.7473	0.99986 <.0001	0.37071 0.2355	-0.54799 0.0651	-0.80458 0.0016	0.60261 0.0381
X2	-0.07082 0.8269	0.10420 0.7473	1.00000	0.10078 0.7553	-0.53686 0.0719	-0.29257 0.3561	-0.19125 0.5516	-0.59003 0.0434
X3	-0.83796 0.0007	0.99986 <.0001	0.10078 0.7553	1.00000	0.37400 0.2311	-0.54820 0.0650	-0.80520 0.0016	0.60708 0.0363
X4	-0.70671 0.0102	0.37071 0.2355	-0.53686 0.0719	0.37400 0.2311	1.00000	-0.21133 0.5097	-0.64566 0.0233	0.91588 <.0001
X5	0.49380 0.1028	-0.54799 0.0651	-0.29257 0.3561	-0.54820 0.0650	-0.21133 0.5097	1.00000	0.46292 0.1296	-0.27436 0.3882
X6	0.98507 <.0001	-0.80458 0.0016	-0.19125 0.5516	-0.80520 0.0016	-0.64566 0.0233	0.46292 0.1296	1.00000	-0.65636 0.0204
X7	-0.74112 0.0058	0.60261 0.0381	-0.59003 0.0434	0.60708 0.0363	0.91588 <.0001	-0.27436 0.3882	-0.65636 0.0204	1.00000

Utilisation de la régression multiple

Ces données posent problème en régression. En effet les sorties de la Proc REG de SAS sur un modèle sans constante apparaissent dans le tableau 3 et donnent des résultats non conformes aux corrélations marginales pour les variables x_1, x_2, x_3, x_5 et x_7 . Pour les variables x_1, x_3 et x_7 il s'agit d'un problème de multicollinéarité. Pour les variables x_2 et x_5 on trouvera une explication en utilisant la régression PLS.

Tableau 3 : Résultats de la régression multiple

Dependent Variable: Y

NOTE: No intercept in model. R-Square is redefined.

Root MSE	0.83619	R-Square	1.0000
Dependent Mean	88.58333	Adj R-Sq	0.9999
Coeff Var	0.94396		

Parameter Estimates

Variable	DF	Parameter Estimate	Standard Error	t Value	Pr > t
X1	1	34.32023	209.12698	0.16	0.8761
X2	1	85.92283	1.24820	68.84	<.0001
X3	1	141.25193	375.32840	0.38	0.7221
X4	1	77.18010	9.21351	8.38	0.0004
X5	1	87.75022	5.81572	15.09	<.0001
X6	1	100.30083	3.47382	28.87	<.0001
X7	1	116.92128	81.09563	1.44	0.2089

Utilisation de la régression PLS pas à pas ascendante

Les variables d'origine y, x_1, \dots, x_7 centrées-réduites sont notées y^*, x_1^*, \dots, x_7^* .

Construction de t_1

On décide de construire la composante t_1 en n'utilisant que les variables x_j^* significatives au risque $\alpha = 0.05$.

En utilisant la formule (2) avec les seules corrélations significatives on obtient :

$$t_1 = \frac{-.8373x_1^* - .83796x_3^* - .70671x_4^* + .98507x_6^* - .74112x_7^*}{\sqrt{.8373^2 + .83796^2 + .70671^2 + .98507^2 + .74112^2}}$$

$$= -.4526x_1^* - .4530x_3^* - .3820x_4^* + .5325x_6^* - .4006x_7^*$$

Construction de t_2

On cherche dans un premier temps les variables x_j^* contribuant de manière significative à la construction de t_2 . On effectue donc sept régressions multiples de y^* sur t_1 et chacun des x_j^* . On trouve dans le tableau 4 les variables significatives.

Tableau 4 : Résultats des régressions multiples de y sur t_1 et chaque x_j^*

Variable	Coefficient de x_j^*	Niveau de signification de x_j^*
x_1^*	.09699	.6225
x_2^*	-.19728	.0101
x_3^*	.10358	.6016
x_4^*	.01589	.9055
x_5^*	.03634	.7221
x_6^*	.65721	<.0001
x_7^*	.30464	.0532

Seules les variables x_2^* et x_6^* sont significatives au risque $\alpha = 0.05$. On calcule les résidus x_{12} , x_{16} des régressions de x_2^* , x_6^* sur t_1 . Les résidus x_{12} et x_{16} sont orthogonaux à t_1 et combinaisons linéaires des x_j^* . Par conséquent toute combinaison linéaire des résidus x_{12} et x_{16} est aussi une combinaison linéaire des x_j^* orthogonale à t_1 . Puis on effectue les deux régressions multiples de y^* sur t_1 et $x_{1jn} = x_{1j}/\text{var}(x_{1j})$, $j = 2$ et 6 , dont les résultats sont donnés dans le tableau 5.

Tableau 5 : Résultats des régressions multiples de y^* sur t_1 et x_{1jn}

Variable	Coefficients de x_{1jn}	Niveau de signification de x_{1jn}
x_{12n}	-.19403	.0101
x_{16n}	.10098	<.0001

Conclusion : On construit t_2 avec les deux résidus (non normalisés) x_{12} et x_{16} :

$$t_2 = \frac{-.19403x_{12} + .10098x_{16}}{\sqrt{.19403^2 + .10098^2}}$$

$$= .0731x_1^* - .8871x_2^* + .0732x_3^* + .0617x_4^* + .3756x_6^* + .0647x_7^*$$

On peut remarquer que la variable x_2^* n'était pas du tout significative en terme de corrélation avec y . En revanche sa corrélation partielle avec y conditionnellement à t_1 est tout à fait significative. Et c'est la variable qui contribue le plus à la construction de la deuxième composante t_2 .

Construction de t_3

On cherche tout d'abord les variables x_j^* contribuant de manière significative à la construction de t_3 . On effectue donc sept régressions multiples de y sur t_1 , t_2 , et sur chacun des x_j^* . On trouve les résultats de ces régressions dans le tableau 6.

Conclusion : Les variables x_1^* , x_2^* , x_3^* , x_4^* et x_6^* sont significatives au risque $\alpha = 0.05$; il faut donc rechercher une troisième composante PLS t_3 .

Tableau 6 : Résultats des régressions multiples de y sur t_1 , t_2 et x_j^* .

Variable	Niveau de signification des x_j
x_1^*	.0034
x_2^*	.0017
x_3^*	.0028
x_4^*	.0025
x_5^*	.4255
x_6^*	.0017
x_7^*	.1085

On calcule ensuite les résidus x_{2j} des régressions multiples des variables x_j^* significatives sur les composantes t_1 et t_2 . Ces résidus x_{2j} sont tous orthogonaux à t_1 et t_2 et combinaisons linéaires des x_j^* . Par conséquent, toute combinaison linéaire des résidus x_{2j} est aussi une combinaison linéaire des x_j^* orthogonale à t_1 et t_2 .

Puis, on effectue les régressions multiples de y^* sur t_1 , t_2 et les variables $x_{2jn} = x_{2j}/\text{var}(x_{2j})$, significatives.

Tableau 7 : Résultats des régressions multiples de y^* sur t_1 , t_2 et x_{2jn} .

Variables	Coefficients de x_{2jn}	Niveau de signification de x_{2jn}
x_{21n}	.05832	.0034
x_{22n}	.01548	.0017
x_{23n}	.05867	.0028
x_{24n}	-.07732	.0025
x_{26n}	.02974	.0017

On construit t_3 avec les cinq résidus $x_{21}, x_{22}, x_{23}, x_{24}, x_{26}$:

$$t_3 = \frac{.05832x_{21} + .01548x_{22} + .05867x_{23} - .07732x_{24} + .02974x_{26}}{\sqrt{.05832^2 + .01548^2 + .05867^2 + .07732^2 + .02974^2}}$$

$$= .493x_1^* - .286x_2^* + .496x_3^* - .655x_4^* + .469x_6^* + .001x_7^*$$

Construction de t_4

On recherche les variables x_j^* contribuant de manière significative à la construction de t_4 en étudiant les régressions de y sur t_1, t_2, t_3 et x_j^* . On trouve les résultats de ces régressions dans le tableau 8.

Tableau 8 : Résultats des régressions multiples de y sur t_1, t_2, t_3 et x_j^*

Variable	Niveau de signification de x_{3j}
x_1^*	.2627
x_2^*	.3193
x_3^*	.4169
x_4^*	.9845
x_5^*	.4868
x_6^*	.3193
x_7^*	.1192

Conclusion : Aucune des variables x_1^*, \dots, x_7^* n'est significative au risque $\alpha = 0.05$; il ne faut donc retenir que les trois premières composantes PLS.

Construction de l'équation de régression PLS à trois composantes

La régression de la variable d'origine y sur les trois composantes t_1, t_2, t_3 conduit à l'équation

$$\hat{y} = 88.58 + 3.25t_1 + 1.35t_2 + 1.15t_3$$

qui peut aussi s'écrire en fonction des variables x_j d'origine :

$$\hat{y} = 93.317 - 8.755x_1 - 7.782x_2 - 14.969x_3 - 8.434x_4 + 9.488x_6 - 44.978x_7$$

En exploitant le fait que la somme des x_j vaut 1, cette équation devient :

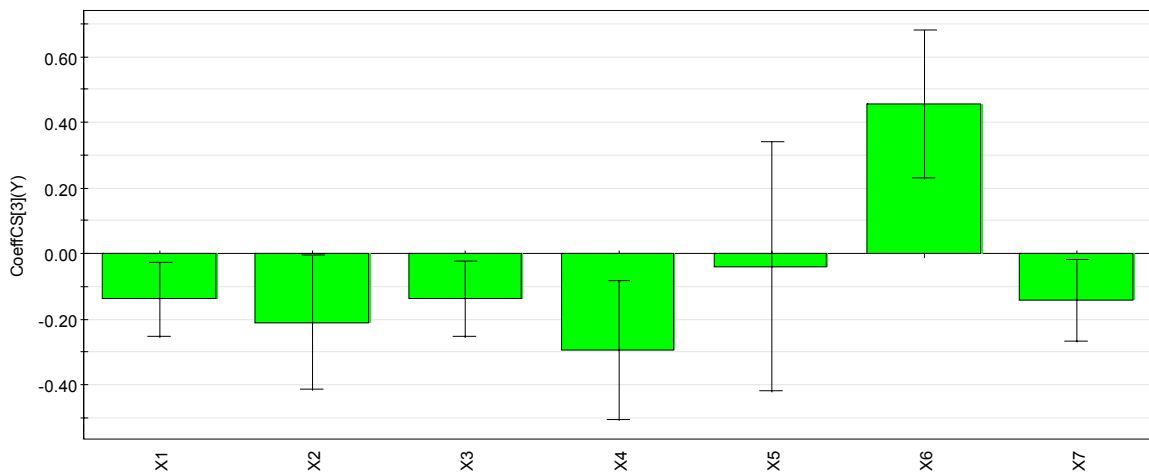
$$\begin{aligned} \hat{y} &= 93.317 \left(\sum_{j=1}^7 x_j \right) - 8.755x_1 - 7.782x_2 - 14.969x_3 - 8.434x_4 + 9.488x_6 - 44.978x_7 \\ &= 84.562x_1 + 85.535x_2 + 78.348x_3 + 84.883x_4 + 93.317x_5 + 102.805x_6 + 48.339x_7 \end{aligned}$$

Si l'on veut fabriquer un mélange conduisant à un indice d'octane maximum il faut maximiser les composants par ordre décroissant des coefficients de régression. Ici on met un maximum de x_6 (74%); on complète par un maximum de x_5 , soit 12%; on termine le mélange avec 14% de x_2 . D'où un indice d'octane prédit en moyenne pour ce mélange égal à $\hat{y} = 85.535 \times 0.14 + 93.317 \times 0.12 + 102.805 \times 0.74 = 99.25$.

Utilisation de SIMCA-P 9

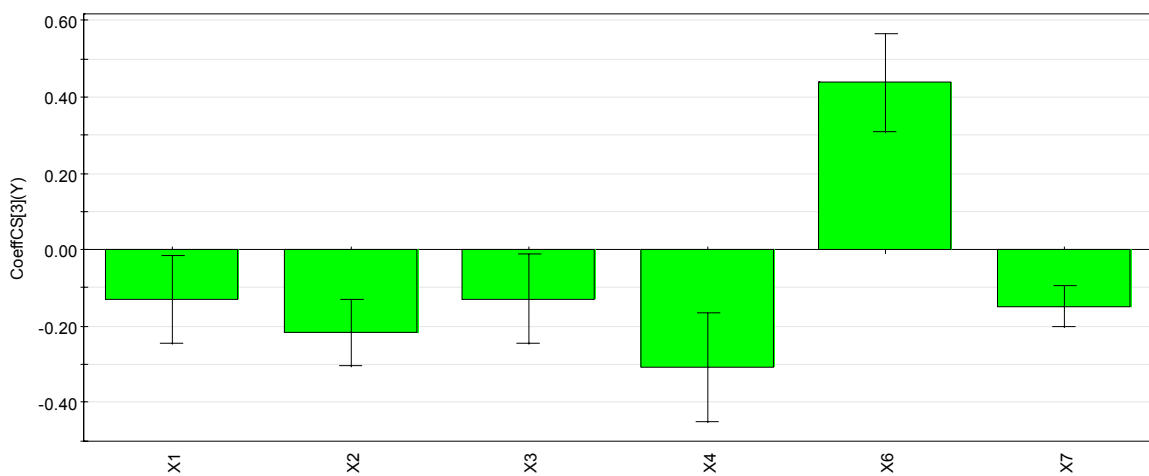
Nous avons utilisé sur ces données le logiciel SIMCA-P 10 (UMETRI, 2002). Cette version de SIMCA fournit les intervalles de confiance des coefficients de régression PLS à 95% calculés par validation croisée (Jack-knife). En réalisant la régression PLS de y sur les sept variables x_j avec ce logiciel nous avons obtenu trois composantes PLS. On donne dans la figure 1 les intervalles de confiance des coefficients de régression PLS pour trois composantes.

Figure 1 : Régression PLS de y sur x_1, \dots, x_7 :
Coefficients de régression et intervalles de confiance Jack-knife



Les résultats de la figure 1 confirment tout à fait la première analyse : la variable x_5 n'a pas d'influence directe sur l'indice d'octane y . La figure 2 montre les résultats obtenus en supprimant la variable x_5 .

Figure 2 : Régression PLS de y sur $x_1, \dots, x_4, x_6, x_7$:
Coefficients de régression et intervalles de confiance Jack-knife



III. Régression linéaire généralisée PLS

Nous avons vu que la régression PLS pouvait être obtenue en utilisant des régressions simples et multiples. En remplaçant ces régressions par des régressions linéaires généralisées on a accès à une nouvelle gamme de modèle : la régression linéaire généralisée PLS.

La régression linéaire généralisée PLS de y sur x_1, \dots, x_p à m composantes s'écrit :

$$(13) \quad g(\theta) = \sum_{h=1}^m c_h \left(\sum_{j=1}^p w_{hj}^* x_j \right)$$

où le paramètre θ peut représenter la moyenne μ d'une variable continue y , ou le vecteur des probabilités des valeurs prises par une variable y discrète, ou encore le rapport des risques $h(t)/h_0(t)$ en données de survie pour les modèles à risques proportionnels. La fonction de lien g est choisie par l'utilisateur en tenant compte de la loi de probabilité de y et de la qualité de l'ajustement du modèle aux données. On impose aux composantes PLS $T_h = \sum_{j=1}^p w_{hj}^* x_j$ d'être orthogonales.

Nous allons décrire cette nouvelle approche puis l'illustrer à l'aide de différents exemples.

III.1 Algorithme de régression linéaire généralisée PLS

L'algorithme comprend quatre étapes :

- 1) La recherche des composantes PLS T_h
- 2) La régression linéaire généralisée de y sur les composantes PLS T_h
- 3) L'expression de la régression linéaire généralisée en fonction des variables d'origine
- 4) La validation Bootstrap des coefficients de l'équation de régression linéaire généralisée finale

Les trois dernières étapes étant évidentes, nous allons maintenant décrire en détail la première étape.

Recherche des composantes PLS T_h

On note X la matrice dont les colonnes sont formées des valeurs des p variables explicatives x_j . On recherche successivement m composantes PLS orthogonales T_h combinaisons linéaires des x_j .

Recherche de la première composante PLS T_1

- Etape 1 : Calculer le coefficient de régression a_{1j} de x_j dans la régression linéaire généralisée de y sur x_j pour chaque variable x_j , $j = 1$ à p .
- Etape 2 : Normer le vecteur colonne a_1 formé des a_{1j} : $w_1 = a_1 / \|a_1\|$
- Etape 3 : Calculer la composante $T_1 = Xw_1 / w_1'w_1$

Recherche de la deuxième composante PLS T_2

- Etape 1 : Calculer le coefficient de régression a_{2j} de x_j dans la régression linéaire généralisée de y sur T_1 et x_j .
- Etape 2 : Normer le vecteur colonne a_2 formé des a_{2j} : $w_2 = a_2/\|a_2\|$
- Etape 3 : Calculer le résidu X_1 de la régression linéaire de X sur T_1 .
- Etape 4 : Calculer la composante $T_2 = X_1 w_2 / w_2' w_2$.
- Etape 5 : Exprimer la composante T_2 en fonction de X : $T_2 = X w_2^*$

Recherche de la h-ième composante PLS T_h

On a obtenu aux étapes précédentes les composantes PLS T_1, \dots, T_{h-1} . On obtient la composante T_h en itérant la recherche de la deuxième composante.

- Etape 1 : Calculer le coefficient de régression a_{hj} de x_j dans la régression linéaire généralisée de y sur T_1, T_2, \dots, T_{h-1} et x_j .
- Etape 2 : Normer le vecteur colonne a_h formé des a_{hj} : $w_h = a_h/\|a_h\|$
- Etape 3 : Calculer le résidu X_{h-1} de la régression linéaire de X sur T_1, \dots, T_{h-1}
- Etape 4 : Calculer la composante $T_h = X_{h-1} w_h / w_h' w_h$.
- Etape 5 : Exprimer la composante T_h en fonction de X : $T_h = X w_h^*$

Commentaires

- 1) On peut simplifier le calcul des composantes PLS T_h en mettant à 0 les coefficients de régression a_{hj} non significatifs. Seules les variables significatives contribuent à la construction de la composante PLS.
- 2) Le nombre m de composantes PLS à retenir peut être fixé par validation croisée sur les qualités prédictives du modèle ou bien en constatant que la composante T_{m+1} n'est pas significative dans le sens où aucun $a_{m+1,j}$ ne l'est.
- 3) L'algorithme présenté peut fonctionner en présence de données manquantes. Notons $x_{h-1,i}$ le vecteur colonne formé de la transposée de la i -ième ligne de la matrice X_{h-1} . La valeur $T_{hi} = x_{h-1,i}' w_h / w_h' w_h$ de la composante T_h pour l'individu i représente la pente de la droite des moindres carrés sans constante du nuage de points $(w_h, x_{h-1,i})$. Cette pente est aussi calculable lorsqu'il y a des données manquantes. Ainsi dans les étapes de calcul des composantes PLS, le calcul du dénominateur n'est réalisé que sur les données disponibles au numérateur.

III.2 Application à la régression multiple

L'application de l'algorithme présenté en III.1 à un problème de régression multiple permet d'obtenir une variante de la régression PLS tout à fait naturelle et proposée en 1991 par Shenk et Westerhaus. Pour illustrer l'algorithme nous allons reprendre les données de Cornell. Nous décidons de travailler avec la variable y centrée-réduite et les variables x_j centrées mais non réduites. Nous décidons également de ne conserver pour la construction des composantes PLS que les variables significatives.

Calcul de la première composante PLS T_1

La première composante $T_1 = Xw_1$ est définie par

$$(14) \quad T_1 = \frac{1}{\sqrt{\sum_{j=1}^p a_{1j}^2}} \sum_{j=1}^p a_{1j} x_j$$

où a_{1j} est le coefficient de régression de la variable centrée x_j dans la régression de $y =$ "Indice d'octane" sur chaque x_j . En remplaçant a_{1j} par sa valeur $\text{Cov}(x_j, y)/\text{Var}(x_j)$ l'expression (14) devient

$$(15) \quad T_1 = \frac{1}{\sqrt{\sum_{j=1}^p \left[\frac{\text{Cov}(x_j, y)}{\text{Var}(x_j)} \right]^2}} \sum_{j=1}^p \text{Cor}(x_j, y) x_j^*$$

où x_j^* représente la variable x_j centrée-réduite. Il est certainement préférable de modifier la normalisation pour aboutir à :

$$(16) \quad T_1 = \frac{1}{\sqrt{\sum_{j=1}^p \text{Cor}(x_j, y)^2}} \sum_{j=1}^p \text{Cor}(x_j, y) x_j^*$$

Seules les variables x_j à coefficient de corrélation avec y significatif contribuent à la construction de la première composante T_1 . Il n'y a ici aucune différence entre cette nouvelle composante T_1 et l'ancienne.

Calcul de la deuxième composante PLS T_2

On recherche tout d'abord les variables x_j contribuant de manière significative à l'explication de y en plus de T_1 . On construit donc les régressions multiples de y sur T_1 et chaque x_j :

$$(17) \quad y = c_1 T_1 + a_{2j} x_j + \text{résidu}$$

Les résultats de ces régressions apparaissent dans le tableau 4.

Pour obtenir une deuxième composante T_2 orthogonale à T_1 il faut la construire à partir des résidus x_{1j} des régressions des x_j sur T_1 :

$$(18) \quad x_j = p_{1j} T_1 + x_{1j}$$

La deuxième composante T_2 est alors définie par

$$(19) \quad T_2 = \frac{1}{\sqrt{\sum_{j=1}^p a_{2j}^2}} \sum_{j=1}^p a_{2j} x_{1j}$$

où a_{2j} est aussi le coefficient de régression de x_{1j} dans la régression de y sur T_1 et x_{1j} :

$$(20) \quad \begin{aligned} y &= c_1 T_1 + a_{2j}(p_{1j} T_1 + x_{1j}) + \text{résidu} \\ &= (c_1 + p_{1j}) T_1 + a_{2j} x_{1j} + \text{résidu} \end{aligned}$$

L'orthogonalité entre x_{1j} et T_1 implique qu'on a aussi, en modifiant la normalisation,

$$(21) \quad T_2 = \frac{1}{\sqrt{\sum_{j=1}^p \text{Cor}(x_{1j}, y)^2}} \sum_{j=1}^p \text{Cor}(x_{1j}, y) x_{1j}^*$$

où x_{1j}^* représente la variable x_{1j} centrée-réduite.

Sur l'exemple on a obtenu :

$$(22) \quad \begin{aligned} T_2 &= \frac{1}{\sqrt{.19565^2 + .25762^2}} (-.19565 x_{12}^* + .25762 x_{16}^*) \\ &= .4211 x_1^* - .6098 x_2^* + .4214 x_3^* + .3554 x_4^* + 1.5363 x_6^* + .3727 x_7^* \end{aligned}$$

Construction de la composante PLS T_3

On cherche tout d'abord les variables x_j contribuant de manière significative à la construction de T_3 . On effectue donc sept régressions multiples de y sur T_1 , T_2 , et sur chacun des x_j . On trouve les résultats de ces régressions dans le tableau 9.

Tableau 9 : Résultats des régressions multiples de y sur T_1 , T_2 et chaque x_j .

Variables	Coefficients de x_j	Niveau de signification de x_j
x_1	.1928	.0289
x_2	.2380	.0294
x_3	.1969	.0258
x_4	-.1478	.0177
x_5	-.0248	.6356
x_6	.7929	.0294
x_7	-.2324	.0922

Conclusion : Les variables x_1 , x_2 , x_3 , x_4 et x_6 sont significatives au risque $\alpha = 0.05$; il faut donc rechercher une troisième composante PLS T_3 .

On calcule ensuite les résidus x_{2j} des régressions multiples des variables x_j significatives sur les composantes T_1 et T_2 .

On construit T_3 avec les cinq résidus réduits x_{21}^* , x_{22}^* , x_{23}^* , x_{24}^* , x_{26}^* :

$$T_3 = \frac{.0859x_{21}^* + .0857x_{22}^* + .0872x_{23}^* - .0912x_{24}^* + .0857x_{26}^*}{\sqrt{.0859^2 + .0857^2 + .0872^2 + .0912^2 + .0857^2}}$$

$$= 1.600x_1^* + 1.248x_2^* + 1.622x_3^* - .243x_4^* + 3.260x_6^* + .541x_7^*$$

Construction de la composante PLS T_4

On recherche les variables x_j contribuant de manière significative à la construction de T_4 en étudiant les régressions de y sur T_1 , T_2 , T_3 et chaque x_j . On trouve les résultats de ces régressions dans le tableau 10.

Tableau 10 : Résultats des régressions multiples de y sur T_1 , T_2 , T_3 et chaque x_j .

Variable	Niveau de signification de x_j
x_1	.7096
x_2	.9378
x_3	.8517
x_4	.5711
x_5	.6867
x_6	.9378
x_7	.3351

Conclusion : Aucune des variables x_1, \dots, x_7 n'est significative au risque $\alpha = 0.05$; il ne faut donc retenir que les trois premières composantes PLS.

Construction de l'équation de régression PLS à trois composantes

La régression de la variable d'origine y sur les trois composantes T_1 , T_2 , T_3 conduit à l'équation

$$\hat{y} = 88.58 + 3.25T_1 + 2.53T_2 + 1.20T_3$$

qui peut aussi s'écrire en fonction des variables x_j d'origine :

$$\begin{aligned} \hat{y} &= 87.682 - 5.920x_1 - 2.034x_2 - 10.060x_3 - 3.892x_4 + 15.133x_6 - 26.429x_7 \\ &= 87.682\left(\sum_{j=1}^7 x_j\right) - 5.920x_1 - 2.034x_2 - 10.060x_3 - 3.892x_4 + 15.133x_6 - 26.429x_7 \\ &= 81.762x_1 + 85.648x_2 + 77.622x_3 + 83.790x_4 + 87.682x_5 + 102.815x_6 + 61.253x_7 \end{aligned}$$

L'indice d'octane maximum reste obtenu pour $x_2 = 0.14$, $x_5 = 0.12$, $x_6 = 0.74$ et atteint la valeur $\hat{y} = 85.648 \times 0.14 + 87.682 \times 0.12 + 102.815 \times 0.74 = 98.59$.

III.3 Application à la régression logistique

Nous allons étudier l'application de l'algorithme général de régression linéaire généralisée à la régression logistique sur l'exemple des vins de Bordeaux.

Les variables suivantes ont été mesurées sur 34 années (1924 – 1957) :

TEMPÉRATURE : Somme des températures moyennes journalières (°C)
SOLEIL : Durée d'insolation (heures)
CHALEUR : Nombre de jours de grande chaleur
PLUIE : Hauteur des pluies (mm)
QUALITÉ du VIN : 1 = bonne, 2 = moyenne, 3 = médiocre

Les données figurent dans le tableau 11.

La régression logistique ordinale

La régression logistique ordinale de la qualité sur les quatre prédicteurs *centrées-réduits* correspond au modèle suivant :

$$(23) \quad \text{Prob}(Y \leq i) = \frac{e^{\alpha_i + \beta_1 \text{Température} + \beta_2 \text{Soleil} + \beta_3 \text{Chaleur} + \beta_4 \text{Pluie}}}{1 + e^{\alpha_i + \beta_1 \text{Température} + \beta_2 \text{Soleil} + \beta_3 \text{Chaleur} + \beta_4 \text{Pluie}}}$$

C'est un modèle à rapport des chances proportionnelles, accepté ici à l'aide d'un test du Score donné dans le tableau 12. Les résultats issus de la Proc Logistic de SAS sur les variables centrées-réduites apparaissent dans le tableau 12. Les niveaux de signification issus du test de Wald sur les quatre coefficients des variables prédictives de la qualité sont respectivement 0.0573, 0.1046, 0.4568, 0.0361. Seules les variables Température et Pluie sont significatives au risque de 10%. En utilisant le modèle (23) estimé on peut calculer la probabilité qu'une année soit bonne, moyenne ou médiocre. En affectant une année à la qualité la plus probable on obtient le tableau 13 croisant qualités observée et prévue. Il y a 7 années mal classées.

Tableau 11 : Les données vins de Bordeaux

OBS	ANNÉE	TEMPÉRATURE	SOLEIL	CHALEUR	PLUIE	QUALITÉ
1	1924	3064	1201	10	361	2
2	1925	3000	1053	11	338	3
3	1926	3155	1133	19	393	2
4	1927	3085	970	4	467	3
5	1928	3245	1258	36	294	1
6	1929	3267	1386	35	225	1
7	1930	3080	966	13	417	3
8	1931	2974	1189	12	488	3
9	1932	3038	1103	14	677	3
10	1933	3318	1310	29	427	2
11	1934	3317	1362	25	326	1
12	1935	3182	1171	28	326	3
13	1936	2998	1102	9	349	3
14	1937	3221	1424	21	382	1
15	1938	3019	1230	16	275	2
16	1939	3022	1285	9	303	2
17	1940	3094	1329	11	339	2
18	1941	3009	1210	15	536	3
19	1942	3227	1331	21	414	2
20	1943	3308	1366	24	282	1
21	1944	3212	1289	17	302	2
22	1945	3361	1444	25	253	1

23	1946	3061	1175	12	261	2
24	1947	3478	1317	42	259	1
25	1948	3126	1248	11	315	2
26	1949	3458	1508	43	286	1
27	1950	3252	1361	26	346	2
28	1951	3052	1186	14	443	3
29	1952	3270	1399	24	306	1
30	1953	3198	1259	20	367	1
31	1954	2904	1164	6	311	3
32	1955	3247	1277	19	375	1
33	1956	3083	1195	5	441	3
34	1957	3043	1208	14	371	3

Tableau 12 : Régression logistique de la qualité sur les variables météo

Score Test for the Proportional Odds Assumption

Chi-Square = 2.9159 with 4 DF (p=0.5720)

Analysis of Maximum Likelihood Estimates

Variable	DF	Parameter Estimate	Standard Error	Wald Chi-Square	Pr > Chi-Square
INTERCP1	1	-2.6638	0.9266	8.2641	0.0040
INTERCP2	1	2.2941	0.9782	5.4998	0.0190
TEMPERA	1	3.4268	1.8029	3.6125	0.0573
SOLEIL	1	1.7462	1.0760	2.6335	0.1046
CHALEUR	1	-0.8891	1.1949	0.5536	0.4568
PLUIE	1	-2.3668	1.1292	4.3931	0.0361

Tableau 13: Qualité de la prévision du modèle (11) en utilisant la régression logistique usuelle

QUALITE OBSERVEE	PREVISION			Total
Effectif	1,	2,	3,	
1	8	3	0	11
2	2	8	1	11
3	0	1	11	12
Total	10	12	12	34

La régression logistique ordinale PLS

Dans l'exemple des vins de Bordeaux, la multicolinéarité des prédicteurs conduit à deux difficultés : d'une part des variables influentes comme Soleil et Chaleur sont déclarées non significatives dans le modèle (23) alors que prises isolément elles le sont, et d'autre part la variable Chaleur apparaît dans l'équation du modèle avec un coefficient négatif, alors qu'elle a une influence positive sur la qualité. La régression logistique PLS permet en général d'obtenir un modèle cohérent au niveau des coefficients tout en conservant tous les prédicteurs. Elle fonctionne également lorsqu'il y a des données manquantes parmi les prédicteurs. Les régressions logistiques de la qualité sur chaque prédicteur centré-réduit pris séparément ont conduit aux coefficients a_{ij} de Température, Soleil, Chaleur et Pluie égaux respectivement à 3.0117 (.0002), 3.3401 (.0002), 2.1445 (.0004) et -1.7906 (.0016), les niveaux de signification étant donnés entre parenthèses. Ces coefficients sont tous significatifs et ont des signes cohérents. Après normalisation de ces coefficients, on obtient la composante

$$T_1 = \frac{3.0117 \text{ Température} + 3.3401 \text{ Soleil} + 2.1445 \text{ Chaleur} - 1.7906 \text{ Pluie}}{\sqrt{(3.0117)^2 + (3.3401)^2 + (2.1445)^2 + (-1.7906)^2}}$$

$$= 0.5688 \text{ Température} + 0.6309 \text{ Soleil} + 0.4050 \text{ Chaleur} - 0.3382 \text{ Pluie}$$

Les résultats de la régression logistique de la qualité sur la composante T_1 sont donnés dans le tableau 14. Il est satisfaisant de constater qu'il y a une année mal classée de moins par rapport à la prévision réalisée avec la régression logistique usuelle.

Pour rechercher les variables contribuant de manière significative à la deuxième composante T_2 on construit les régression logistiques de la qualité sur T_1 et chaque prédicteur centré-réduit x_j^* :

$$(24) \quad (\text{Prob}(Y \leq i)) = \frac{e^{\alpha_i + \beta_1 T_1 + \beta_2 x_j^*}}{1 + e^{\alpha_i + \beta_1 T_1 + \beta_2 x_j^*}}$$

On obtient des niveaux de signification des prédicteurs égaux à .6765, .6027, .0983, .2544. On peut donc conclure que la deuxième composante PLS n'est pas significative. Par conséquent nous conservons le modèle à une composante.

Tableau 14 : Résultats de la régression logistique de la qualité sur la composante T_1

Analysis of Maximum Likelihood Estimates

Parameter	DF	Estimate	Standard Error	Chi-Square	Pr > ChiSq
Intercept	1	-2.2650	0.8644	6.8662	0.0088
Intercept2	1	2.2991	0.8480	7.3497	0.0067
t1	1	2.6900	0.7155	14.1336	0.0002

TABLEAU CROISANT QUALITÉ OBSERVÉE ET PRÉDITE

QUALITÉ	PRÉDICTION			Total
	1,	2,	3,	
Effectif	1,	2,	3,	
1	9	2	0	11
2	2	8	1	11
3	0	1	11	12
Total	11	11	12	34

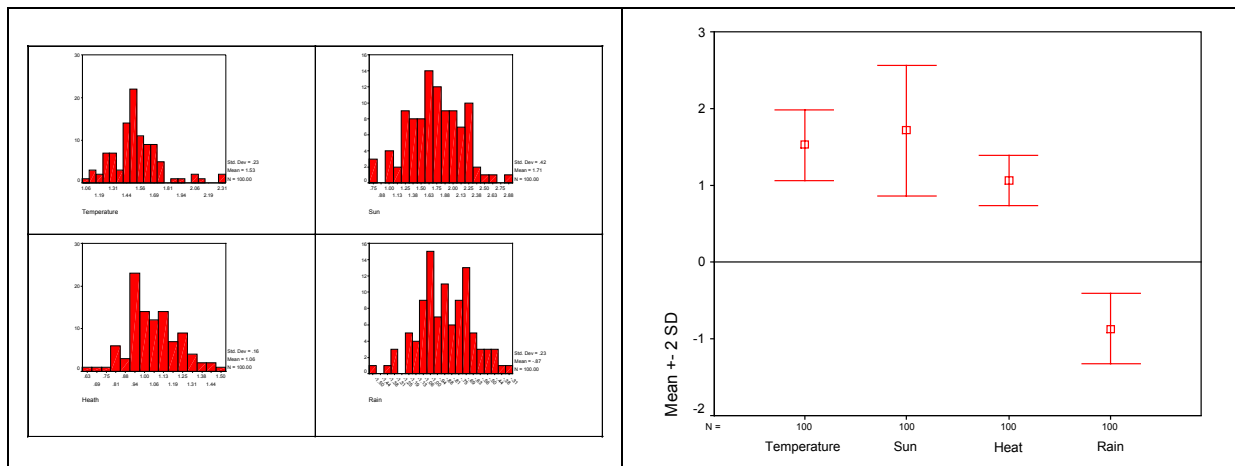
En exprimant la composante T_1 en fonction des variables Température, Soleil, Chaleur et Pluie centrées-réduites on obtient finalement des estimations plus cohérentes des paramètres du modèle (23) que celles obtenues en régression logistique usuelle :

$$\text{Prob}(Y = 1) = \frac{e^{-2.265 + 1.53 \times \text{Température} + 1.70 \times \text{Soleil} + 1.09 \times \text{Chaleur} - .91 \times \text{Pluie}}}{1 + e^{-2.265 + 1.53 \times \text{Température} + 1.70 \times \text{Soleil} + 1.09 \times \text{Chaleur} - .91 \times \text{Pluie}}}$$

et

$$\text{Prob}(Y \leq 2) = \frac{e^{2.2991 + 1.53 \times \text{Température} + 1.70 \times \text{Soleil} + 1.09 \times \text{Chaleur} - .91 \times \text{Pluie}}}{1 + e^{2.2991 + 1.53 \times \text{Température} + 1.70 \times \text{Soleil} + 1.09 \times \text{Chaleur} - .91 \times \text{Pluie}}}$$

Un bootstrap réalisé sur ce modèle de régression logistique PLS a donné les résultats donnés dans le tableau suivant et valide donc les coefficients de régression :



III.4 Exemple "Job Satisfaction"

Dans son livre *Models for Discrete Data* Daniel Zelterman propose un exemple de régression logistique sur variables qualitatives posant problème car l'auteur veut étudier les effets principaux et toutes les interactions d'ordre 2. Nous allons comparer sur cet exemple l'utilisation conjointe de la régression logistique et de la régression PLS sur variables qualitatives avec la régression logistique pas à pas de SAS version 8.2.

Voici la présentation de ces données par Zelterman :

A large national corporation with more than 1 million employees sent out 100 000 surveys to determine the demographic factors influencing the satisfaction with their job. Approximately 75 000 surveys were returned, so there may have been a large bias due to those not responding. The data in [Table 15] tabulates the job satisfaction or dissatisfaction and demographic characteristics of 9949 employees in the 'craft' job classification within this company.

Table 15 : *Job satisfaction (Y/N) by sex (M/F), race, age, and region of residence for employees of a large U.S. corporation. source: Fowlkes et al. (J.A.S.A., 83, 611-622, 1988)*

Region	White						Nonwhite					
	Under 35		35-44		Over 44		Under 35		35-44		Over 44	
	M	F	M	F	M	F	M	F	M	F	M	F
Northeast												
Y	288	60	224	35	337	70	38	19	32	22	21	15
N	177	57	166	19	172	30	33	35	11	20	8	10
Mid-Atlantic												
Y	90	19	96	12	124	17	18	13	7	0	9	1
N	45	12	42	5	39	2	6	7	2	3	2	1
Southern												
Y	226	88	189	44	156	70	45	47	18	13	11	9
N	128	57	117	34	73	25	31	35	3	7	2	2
Midwest												
Y	285	110	225	53	324	60	40	66	19	25	22	11
N	179	93	141	24	140	47	25	56	11	19	2	12
Northwest												
Y	270	176	215	80	269	110	36	25	9	11	16	4
N	180	151	108	40	136	40	20	16	7	5	3	5
Southwest												
Y	252	97	162	47	199	62	69	45	14	8	14	2
N	126	61	72	27	93	24	27	36	7	4	5	0
Pacific												
Y	119	62	66	20	67	25	45	22	15	10	8	6
N	58	33	20	10	21	10	16	15	10	8	6	2

III.4.1 Utilisation de la régression logistique PLS comme méthode de sélection de variables en régression logistique binaire sur données agrégées

La régression PLS peut être considérée comme une méthode de sélection de variables alternative à la régression pas à pas. La régression PLS est en quelque sorte une réponse au regret qu'éprouve l'utilisateur d'une régression pas à pas de devoir choisir une seule variable explicative par bloc de variables explicatives très corrélées entre elles. En régression PLS on remplace en quelque sorte ce bloc de variables par un résumé : la composante PLS. En régression pas à pas il y a exclusion de variables éventuellement importantes; en régression PLS toutes les variables importantes sont conservées et les variables sans importance sont soit exclues, soit participent au modèle, mais avec un poids faible.

Pour réaliser la régression logistique de *Job Satisfaction* sur les caractéristiques des employés Zelterman a construit toutes les variables indicatrices des modalités des facteurs et des interactions. Il s'est donc retrouvé avec une régression logistique binaire avec 44 variables explicatives indépendantes. Il a réalisé une régression logistique pas à pas ascendante et a abouti à des résultats peu satisfaisants car difficiles à interpréter. Il est vrai qu'il était limité par la version 6 de SAS. Dans la version 8 la proc Logistic contient une option "Class" et il est alors possible de réaliser une régression pas à pas ascendante au niveau des facteurs et des

interactions plutôt qu'au niveau des indicatrices. On obtient alors des résultats satisfaisants que nous présenterons plus loin.

Dans cette section nous souhaitons explorer l'utilisation de la régression logistique PLS comme outil de sélection de variables dans un problème de régression logistique binaire avec des prédicteurs qualitatifs.

Construction de la première composante PLS T_1

On sélectionne tout d'abord les facteurs et les interactions ayant une contribution significative dans la régression logistique de la variable *Job satisfaction* sur les variables décrivant la population étudiée. Pour les facteurs on les considère séparément. Pour chaque interaction on la considère en plus des deux effets principaux la formant. D'où le tableau 16. Pour construire la première composante PLS T_1 on va donc utiliser les variables Race, Age, Sexe, Région, Race*Sexe et Age*Sexe.

Tableau 16 : Régression logistique de *Job Satisfaction* sur chaque facteur pris séparément et les interactions en plus des effets principaux les formant

Variable	Wald	Niveau de signification
Race	2.687	.1012
Age	51.4856	<.0001
Sexe	20.8241	<.0001
Région	33.9109	<.0001
Race*Age	1.0578	.5893
Race*Sexe	10.77	.001
Race*Région	3.4125	.7556
Age*Sexe	7.9389	.0189
Age*Région	7.8771	.7947
Sexe*Région	4.1857	.6516

On souhaite donc construire une première composante PLS T_1 de la forme

$$T_1 = \begin{matrix} \text{Non-Blanc} \\ \text{Blanc} \end{matrix} \begin{bmatrix} \beta_1 \\ -\beta_1 \end{bmatrix} + \begin{matrix} < 35 \\ 35-44 \\ > 44 \end{matrix} \begin{bmatrix} \beta_2 \\ \beta_3 \\ -\beta_2 - \beta_3 \end{bmatrix} + \begin{matrix} \text{Homme} \\ \text{Femme} \end{matrix} \begin{bmatrix} \beta_4 \\ -\beta_4 \end{bmatrix} + \begin{matrix} \text{Northeast} \\ \text{Mid-Atlantic} \\ \text{Southern} \\ \text{Midwest} \\ \text{Northwest} \\ \text{Southwest} \\ \text{Pacific} \end{matrix} \begin{bmatrix} \beta_5 \\ \beta_6 \\ \beta_7 \\ \beta_8 \\ \beta_9 \\ \beta_{10} \\ -\beta_5 - \dots - \beta_{10} \end{bmatrix}$$

$$+ \begin{matrix} \text{Non-Blanc} \\ \text{Blanc} \\ \text{Homme} \\ \text{Femme} \end{matrix} \begin{bmatrix} \beta_{11} & -\beta_{11} \\ -\beta_{11} & \beta_{11} \\ \beta_{12} & -\beta_{12} \\ -\beta_{12} - \beta_{13} & \beta_{12} + \beta_{13} \end{bmatrix} + \begin{matrix} < 35 \\ 35-44 \\ > 44 \end{matrix} \begin{bmatrix} \beta_{12} & -\beta_{12} \\ \beta_{13} & -\beta_{13} \\ -\beta_{12} - \beta_{13} & \beta_{12} + \beta_{13} \end{bmatrix}$$

Les contraintes sur les coefficients sont plus naturelles que celles consistant à annuler les dernières modalités.

Pour obtenir la composante T_1 on réalise les régressions logistiques de la Satisfaction sur chacun des termes formant T_1 :

Non Blanc - Blanc, Age_{<35} - Age_{>44}, Age₃₅₋₄₄ - Age_{>44}, Homme - Femme, Northeast - Pacific, ..., Southwest - Pacific, (Non Blanc- Blanc)(Homme - Femme), (Age_{<35} - Age_{>44})*(Homme - Femme), (Age₃₅₋₄₄ - Age_{>44})*(Homme - Femme).*

Il est préférable de ne pas réduire ces variables car on a alors accès aux odds-ratios en prenant l'exponentiel de deux fois les coefficients de régression. Les résultats de ces régressions logistiques sont donnés dans le tableau 17. La composante PLS T_1 est donnée dans le tableau 18. Ensuite on réalise la régression logistique de *Job Satisfaction* sur la composante PLS T_1 (Tableau 18), puis on l'exprime en fonction des variables d'origine. D'où le tableau 19.

Tableau 17 : Les régressions logistiques de *Job Satisfaction* sur chaque variable

Variable	Coefficient de Régression a_{1j}	Coefficient normé w_{1j}
Non blanc - Blanc	-.0486	-.1424
Age _{<35} - Age _{>44}	-.1775	-.5203
Age ₃₅₋₄₄ - Age _{>44}	-.1185	-.3474
Homme - Femme	.1050	.3078
Northeast - Pacific	-.1605	-.4705
Mid-Atlantic - Pacific	.0224	.0656
Southern - Pacific	-.0718	-.2105
Midwest - Pacific	-.1191	-.3491
Northwest - Pacific	-.0900	-.2638
Southwest -Pacific	.0136	.0398
(Non blanc - Blanc)*(Homme - Femme)	-.0124	-.0363
(Age _{<35} - Age _{>44})*(Homme - Femme)	.0095	.0278
(Age ₃₅₋₄₄ - Age _{>44})*(Homme - Femme)	-.0572	-.1677

Tableau 18 : Calcul de la première composante PLS T_1

$$\begin{aligned}
 T_1 = & \begin{matrix} \text{Non - Blanc} \\ \text{Blanc} \end{matrix} \begin{bmatrix} -.14 \\ +.14 \end{bmatrix} + \begin{matrix} < 35 \\ 35 - 44 \\ > 44 \end{matrix} \begin{bmatrix} -.52 \\ -.35 \\ +.87 \end{bmatrix} + \begin{matrix} \text{Homme} \\ \text{Femme} \end{matrix} \begin{bmatrix} +.31 \\ -.31 \end{bmatrix} + \begin{matrix} \text{Northeast} \\ \text{Mid - Atlantic} \\ \text{Southern} \\ \text{Midwest} \\ \text{Northwest} \\ \text{Southwest} \\ \text{Pacific} \end{matrix} \begin{bmatrix} -.47 \\ +.07 \\ -.21 \\ -.35 \\ -.27 \\ +.04 \\ +1.19 \end{bmatrix} \\
 & + \begin{matrix} \text{Non - Blanc} \\ \text{Blanc} \end{matrix} \begin{bmatrix} +.04 & -.04 \\ -.04 & +.04 \end{bmatrix} + \begin{matrix} < 35 \\ 35 - 44 \\ > 44 \end{matrix} \begin{bmatrix} +.03 & -.03 \\ -.17 & +.17 \\ +.15 & -.15 \end{bmatrix} + \begin{matrix} \text{Homme} \\ \text{Femme} \end{matrix} \begin{bmatrix} \\ \end{bmatrix}
 \end{aligned}$$

Tableau 19 : Régression logistique de *Job Satisfaction* sur T₁

Analysis of Maximum Likelihood Estimates					
Parameter	DF	Estimate	Standard Error	Wald Chi-Square	Pr > ChiSq
Intercept	1	0.5770	0.0210	755.5361	<.0001
T1	1	0.2328	0.0254	83.7304	<.0001

Tableau 20 : Régression logistique de *Job Satisfaction* sur T₁ exprimée en fonction des variables d'origine

Logit(Prob(Satisfait)) =

$$0.58 + \begin{matrix} \text{Non-Blanc} \\ \text{Blanc} \end{matrix} \begin{bmatrix} -.03 \\ +.03 \end{bmatrix} + \begin{matrix} < 35 \\ 35-44 \\ > 44 \end{matrix} \begin{bmatrix} -.12 \\ -.08 \\ +.20 \end{bmatrix} + \begin{matrix} \text{Homme} \\ \text{Femme} \end{matrix} \begin{bmatrix} +.07 \\ -.07 \end{bmatrix} + \begin{matrix} \text{Northeast} \\ \text{Mid-Atlantic} \\ \text{Southern} \\ \text{Midwest} \\ \text{Northwest} \\ \text{Southwest} \\ \text{Pacific} \end{matrix} \begin{bmatrix} -.11 \\ +.02 \\ -.05 \\ -.08 \\ -.06 \\ +.01 \\ +.18 \end{bmatrix}$$

$$+ \begin{matrix} \text{Non-Blanc} \\ \text{Blanc} \end{matrix} \begin{bmatrix} -.01 & +.01 \\ +.01 & -.01 \end{bmatrix} + \begin{matrix} < 35 \\ 35-44 \\ > 44 \end{matrix} \begin{bmatrix} +.01 & -.01 \\ -.04 & +.04 \\ +.03 & -.03 \end{bmatrix} \begin{matrix} \text{Homme} \\ \text{Femme} \end{matrix}$$

Construction de la deuxième composante PLS T₂

On commence par étudier la contribution des facteurs Race, Sexe, Age, Région et des interactions à la construction de T₂ en réalisant des tests sur ces facteurs en utilisant un modèle de régression logistique incluant T₁. D'où le tableau 21.

Tableau 21 : Régression logistique de *Job Satisfaction* sur T₁ et chaque facteur pris séparément et les interactions en plus des effets principaux les formant

Variabes	Wald	Niveau de signification
Race	.56	.45
Age	4.25	.12
Sexe	.32	.57
Région	13.14	.04
Race*Age	1.21	.54
Race*Sexe	11.6	.00
Race*Région	3.32	.77
Age*Sexe	8.68	.01
Age*Région	7.73	.80
Sexe*Région	3.49	.75

Trois variables vont contribuer à la construction de la deuxième composante PLS T₂ : *Région*, *Race*Sexe* et *Age*Sexe*.

Pour obtenir une composante T_2 orthogonale à T_1 , on construit T_2 à partir des résidus des régressions des variables

$$\text{Northeast - Pacific, ..., Southwest - Pacific, (Non blanc - blanc)*(Homme - Femme), (Age}_{<35} - \text{Age}_{>44})*(\text{Homme} - \text{Femme}), (\text{Age}_{35-44} - \text{Age}_{>44})*(\text{Homme} - \text{Femme})$$

sur T_1 .

La composante T_2 est donnée dans le tableau 22 et dépend donc en fait des mêmes variables que T_1 .

Tableau 22 : Calcul de la deuxième composante PLS T_2

$$T_2 = \begin{matrix} \text{Non-Blanc} \\ \text{Blanc} \end{matrix} \begin{bmatrix} -.033 \\ +.033 \end{bmatrix} + \begin{matrix} < 35 \\ 35-44 \\ > 44 \end{matrix} \begin{bmatrix} -.12 \\ +.08 \\ +.04 \end{bmatrix} + \begin{matrix} \text{Homme} \\ \text{Femme} \end{matrix} \begin{bmatrix} +.07 \\ -.07 \end{bmatrix} + \begin{matrix} \text{Northeast} \\ \text{Mid-Atlantic} \\ \text{Southern} \\ \text{Midwest} \\ \text{Northwest} \\ \text{Southwest} \\ \text{Pacific} \end{matrix} \begin{bmatrix} -.40 \\ +.67 \\ +.15 \\ -.17 \\ -.04 \\ +.38 \\ -.59 \end{bmatrix}$$

$$+ \begin{matrix} \text{Non-Blanc} \\ \text{Blanc} \end{matrix} \begin{bmatrix} +.28 & -.28 \\ -.28 & +.28 \end{bmatrix} + \begin{matrix} < 35 \\ 35-44 \\ > 44 \end{matrix} \begin{bmatrix} +.33 & -.33 \\ +.29 & -.29 \\ -.62 & +.62 \end{bmatrix} \begin{matrix} \\ \\ \\ \text{Homme} \\ \text{Femme} \end{matrix}$$

Ensuite on réalise la régression logistique de *Job Satisfaction* sur les composantes PLS T_1 et T_2 (Tableau 23), puis on l'exprime en fonction des variables d'origine. D'où le tableau 24.

Tableau 23 : Régression logistique de *Job Satisfaction* sur T_1 , T_2

Analysis of Maximum Likelihood Estimates					
Parameter	DF	Estimate	Standard Error	Wald Chi-Square	Pr > ChiSq
Intercept	1	0.6046	0.0218	771.5523	<.0001
T1	1	0.2562	0.0257	99.6029	<.0001
T2	1	0.2039	0.0392	27.1008	<.0001

Tableau 24 : Régression logistique de *Job Satisfaction* sur T_1 et T_2 exprimée en fonction des variables d'origine

Logit(Prob(Satisfait)) =

$$0.60 + \begin{matrix} \text{Non-Blanc} \\ \text{Blanc} \end{matrix} \begin{bmatrix} -.04 \\ +.04 \end{bmatrix} + \begin{matrix} < 35 \\ 35-44 \\ > 44 \end{matrix} \begin{bmatrix} -.16 \\ -.11 \\ +.27 \end{bmatrix} + \begin{matrix} \text{Homme} \\ \text{Femme} \end{matrix} \begin{bmatrix} +.09 \\ -.09 \end{bmatrix} + \begin{matrix} \text{Northeast} \\ \text{Mid-Atlantic} \\ \text{Southern} \\ \text{Midwest} \\ \text{Northwest} \\ \text{Southwest} \\ \text{Pacific} \end{matrix} \begin{bmatrix} -.20 \\ +.15 \\ -.02 \\ -.12 \\ -.07 \\ +.09 \\ +.17 \end{bmatrix}$$

$$+ \begin{matrix} \text{Non-Blanc} \\ \text{Blanc} \end{matrix} \begin{bmatrix} +.05 & -.05 \\ -.05 & +.05 \end{bmatrix} + \begin{matrix} < 35 \\ 35-44 \\ > 44 \end{matrix} \begin{bmatrix} +.07 & -.07 \\ +.02 & -.02 \\ -.09 & +.09 \end{bmatrix} \begin{matrix} \text{Homme} \\ \text{Femme} \end{matrix}$$

Construction de la troisième composante PLS T_3

On commence par étudier la contribution des facteurs Race, Sexe, Age, Région et des interactions à la construction de T_3 en réalisant des tests sur ces facteurs à l'aide d'un modèle de régression logistique incluant T_1 et T_2 . D'où le tableau 25.

Tableau 25 : Régression logistique de *Job Satisfaction* sur T_1 , T_2 et chaque facteur pris séparément et les interactions en plus des effets principaux les formant

Variables	Wald	Niveau de signification
Race	1.39	.24
Age	3.21	.20
Sexe	.08	.77
Région	1.14	.98
Race*Age	.51	.78
Race*Sexe	1.34	.25
Race*Région	3.94	.68
Age*Sexe	2.58	.27
Age*Région	8.23	.77
Sexe*Région	3.05	.80

Il n'y a plus aucun effet significatif. On en conclut que deux composantes PLS sont suffisantes pour décrire la liaison entre *Job Satisfaction* et les caractéristiques des employés.

Utilisation de la régression logistique usuelle sur les variables sélectionnées par PLS

Les variables ayant été sélectionnées – celles qui apparaissent dans le tableau 24 - on peut maintenant revenir à la régression logistique usuelle pour étudier le modèle du tableau 24. La Proc Logistic de SAS Version 8.2 permet de prendre en compte les variables qualitatives en choisissant les contraintes imposées aux modalités des variables qualitatives. Nous choisissons comme contrainte d'imposer la nullité à la somme des coefficients d'un facteur ou

des lignes et des colonnes du tableau des coefficients décrivant une interaction d'ordre 2. C'est l'option par défaut de la Proc Logistic (Option Param = Effect de l'instruction Class). On donne dans le tableau 26 les résultats de cette analyse et dans le tableau 27 le modèle obtenu par maximum de vraisemblance.

Tableau 26 : Régression logistique de Job Satisfaction sur les variables sélectionnées par PLS. Tests de Wald

Type III Analysis of Effects			
Effect	DF	Wald Chi-Square	Pr > ChiSq
race	1	0.1007	0.7510
age	2	50.7100	<.0001
sex	1	14.0597	0.0002
region	6	37.7010	<.0001
race*sex	1	7.5641	0.0060
age*sex	2	5.9577	0.0509

Tableau 27 : Régression logistique de Job Satisfaction sur les variables sélectionnées par PLS : Le modèle

$$\text{Logit(Prob(Satisfait))} =$$

$$0.65 + \begin{matrix} \text{Non-Blanc} \\ \text{Blanc} \end{matrix} \begin{bmatrix} -.01 \\ +.01 \end{bmatrix} + \begin{matrix} < 35 \\ 35-44 \\ > 44 \end{matrix} \begin{bmatrix} -.20 \\ -.02 \\ +.22 \end{bmatrix} + \begin{matrix} \text{Homme} \\ \text{Femme} \end{matrix} \begin{bmatrix} +.12 \\ -.12 \end{bmatrix} + \begin{matrix} \text{Northeast} \\ \text{Mid-Atlantic} \\ \text{Southern} \\ \text{Midwest} \\ \text{Northwest} \\ \text{Southwest} \\ \text{Pacific} \end{matrix} \begin{bmatrix} -.22 \\ +.22 \\ -.04 \\ -.13 \\ -.09 \\ +.07 \\ +.19 \end{bmatrix}$$

$$+ \begin{matrix} \text{Non-Blanc} \\ \text{Blanc} \end{matrix} \begin{bmatrix} +.09 & -.09 \\ -.09 & +.09 \end{bmatrix} + \begin{matrix} < 35 \\ 35-44 \\ > 44 \end{matrix} \begin{bmatrix} +.08 & -.08 \\ -.03 & +.03 \\ -.05 & +.05 \end{bmatrix} \begin{matrix} \text{Homme} \\ \text{Femme} \end{matrix}$$

Interprétation : La satisfaction augmente avec l'âge. Les hommes sont plus satisfaits que les femmes. Les habitants des régions Mid-Atlantic, Southwest et Pacific sont plus satisfaits que ceux des autres régions. La différence de satisfaction entre les hommes et les femmes dépend de la race : elle est augmentée chez les Non-Blancs et diminuée chez les Blancs. De même la différence de satisfaction entre les hommes et les femmes dépend de l'âge : elle est augmentée chez les jeunes et diminuée chez les plus vieux.

III.4.2 Utilisation de la méthode de régression logistique pas à pas ascendante de la Proc Logistic de SAS version 8.2

Nous avons réalisé également une régression logistique pas à pas ascendante en utilisant la proc logistic de la version 8.2 de SAS. L'option *Hierarchy = none* permet d'introduire des interactions significatives même si les effets principaux ne le sont pas. C'est important sur cet exemple. Les résultats obtenus sont identiques à ceux issus de l'utilisation de la régression PLS décrite dans la section III.4.1.

Sur cet exemple la régression logistique PLS a conduit à sélectionner les mêmes variables que la régression logistique pas à pas ascendante. Elle n'offre donc pas ici d'intérêt particulier. Mais elle nous a permis d'exposer une méthodologie qui devrait être efficace lorsque le nombre de prédicteurs est élevé et le nombre d'observations faible. De plus en utilisant les principes de l'algorithme NIPALS on pourrait construire un algorithme permettant d'intégrer les données manquantes.

III.5 Application aux données censurées : détermination des facteurs de risques associés à l'âge d'apparition des premiers cheveux blancs chez l'homme

III.5.1 Présentation générale des données

Initiée en 1994 par le Professeur Serge Hercberg, l'étude épidémiologique SU.VI.MAX («*SUpplémentation en Vitamines et Minéraux Antioxydants*») s'est donnée pour mission d'évaluer l'état nutritionnel de la population française et d'apprécier l'incidence d'un apport oral de vitamines et minéraux anti-oxydants sur différents indicateurs de santé : infarctus, maladies cardiovasculaires, cancers, dans lesquels les radicaux libres sont fortement impliqués (Hercberg 1997). Cette étude qui est prévue pour s'achever après 8 ans en 2002 comprend plus de 12.000 volontaires âgés entre 25 et 65 ans représentatifs de la population française, la moitié recevant un traitement antioxydant et l'autre moitié un placebo.

L'Oréal a conduit à partir de cette cohorte une étude sur l'état de santé des cheveux et des ongles chez plus de 10323 sujets (4057 hommes et 6266 femmes). Sur la base des réponses à un questionnaire comportant plus de 150 items on a cherché à mettre en évidence les facteurs de risques associés à une apparition prématurée de cheveux blancs chez l'homme.

III.5.2 Description des variables

La variable réponse est l'âge d'apparition des premiers cheveux blancs chez l'homme. C'est une variable discrète à 6 modalités : 30 ans et moins, 31 à 35 ans, 36 à 40 ans, 41 à 45 ans, 45 à 50 ans, et plus de 50 ans.

Les idées de base pour analyser ce type de données sont décrites dans Allison (1995). Chaque individu i est dupliqué m_i fois où m_i est le numéro de sa classe d'âge lors de l'apparition de ses premiers cheveux blancs ou le numéro de sa classe d'âge actuelle s'ils ne sont pas encore apparus. On définit ensuite une variable de réponse y_{it} , qui vaut 0 si l'individu i n'a pas de cheveux blancs à l'âge t et 1 sinon. Pour le dernier enregistrement ($t = m_i$) y_{it} vaut 1 si l'événement est apparu, et 0 sinon.

Par exemple on donne dans le tableau 28 le cas 1 d'un homme de 45 ans dont les premiers cheveux blancs sont apparus à 38 ans (il a 3 enregistrements), puis le cas 2 d'un homme de 45 ans sans cheveux blancs (il a 4 enregistrements).

Tableau 28 : Préparation des données et construction de la fonction de réponse

i	t	y_{it}
Cas 1	≤30	0
Cas 1	31-35	0
Cas 1	36-40	1
Cas 2	≤30	0
Cas 2	31-35	0
Cas 2	36-40	0
Cas 2	41-45	0

Les facteurs de risques sélectionnés à partir de la base de donnée SUVIMAX sont les suivants :

Antécédents familiaux (réponse binaire 1 = oui, 0 = non) :

- La mère a eu des cheveux blancs avant 30 ans (X_1)
- La sœur a eu des cheveux blancs avant 30 ans (X_2)
- La mère n'a pas eu de cheveux blancs après 60 ans (X_3)
- Le père a eu des cheveux blancs avant 30 ans (X_4)
- Le père n'a pas eu de cheveux blancs après 60 ans (X_5)

Caractéristiques des cheveux

- Epaisseur des cheveux (très fin, fin, moyen, épais)
- Couleur naturelle des cheveux (roux, blond, châtain clair, châtain foncé, brun, noir)

Seuls des facteurs de risques significatifs ont été retenus pour cette application. De plus, afin de permettre une comparaison entre le modèle linéaire généralisé usuel et le modèle linéaire généralisé PLS, seuls les individus ayant des valeurs renseignées sur les facteurs de risques sélectionnés ont été pris en compte.

III.5.3 Le modèle

Soit P_{it} la probabilité que les premiers cheveux blancs de l'individu i soient apparus à l'instant t sachant qu'ils ne sont pas apparus aux instants précédents $1, 2, \dots, t-1, :$

$$P_{it} = \text{Prob}(y_{it} = 1 / y_{i1} = 0, \dots, y_{i,t-1} = 0)$$

C'est la probabilité conditionnelle d'observer « $y_{it} = 1$ » sachant que « $y_{i1} = 0, \dots, y_{i,t-1} = 0$ ».

Supposons que le modèle continu sous-jacent soit un modèle de Cox à risques proportionnels

$$\begin{aligned}
(25) \quad \text{Log}[h_i(t)/h_0(t)] &= \beta_1 X_1 + \beta_2 X_2 + \beta_3 X_3 + \beta_4 X_4 + \beta_5 X_5 \\
&+ \beta_6 \text{Roux} + \beta_7 \text{Blond} + \beta_8 \text{Châtain Clair} + \beta_9 \text{Châtain Foncé} \\
&+ \beta_{10} \text{Très Fins} + \beta_{11} \text{Fins} + \beta_{12} \text{Moyens} \\
&= \sum_j \beta_j V_j
\end{aligned}$$

Pour modéliser la variable réponse en fonctions des prédicteurs on peut alors utiliser un modèle linéaire généralisé avec une fonction de lien de type « Complementary Log Log » (Prentice and Gloeckler, 1978).

$$(26) \quad \text{Log}[-\text{Log}(1-P_{it})] = \alpha_t + \sum_j \beta_j V_j$$

L'interprétation des coefficients de régression du modèle (26) en terme de risques relatifs est identique à celle du modèle (25) sous-jacent. Par exemple l'apparition des premiers cheveux blancs avant 30 ans chez la mère augmente le risque, toutes chose égales par ailleurs, de $100(\exp(\beta_1) - 1) \%$.

La forme particulière du vecteur réponse associé à un même individu (toutes les coordonnées sont nulles si l'individu est censuré, toutes les coordonnées sont nulles à l'exception de la dernière qui vaut un si l'individu n'est pas censuré) permet de factoriser la vraisemblance des données à l'aide des probabilités conditionnelles P_{it} :

$$\begin{aligned}
L &= \prod_{i=1}^N \text{prob}(y_{i1} = 0, y_{i2} = 0, \dots, y_{i,t_i-1} = 0, y_{i,t_i} = 1) \\
&= \prod_{i=1}^N \text{prob}(y_{i,t_i} = 1 / y_{i1} = 0, \dots, y_{i,t_i-1} = 0) \times \text{prob}(y_{i1} = 0, \dots, y_{i,t_i-1} = 0) \\
&= \prod_{i=1}^N P_{i,t_i} (1 - P_{i,t_i-1}) \times \dots \times (1 - P_{i1}) \\
&= \prod_{i=1}^N \prod_{l \leq t_i} P_{il}^{y_{il}} (1 - P_{il})^{1-y_{il}}
\end{aligned}$$

Tout ce passe comme si les réponses y_{il} suivaient indépendamment une loi de Bernoulli de paramètre P_{il} .

Le modèle (26) est un modèle linéaire généralisé bien défini que nous allons étudier successivement à l'aide de la proc GENMOD et à l'aide du modèle linéaire généralisé PLS.

III.5.4 Utilisation du modèle linéaire généralisé

Les résultats de la procédure GENMOD de SAS version 8.2 appliquée au modèle (26) sont donnés dans le tableau suivant :

Tableau 29 : Résultats de la procédure GENMOD

Criteria For Assessing Goodness Of Fit							
Criterion	DF	Value	Value/DF				
Deviance	6147	5161.5374	0.8397				
Scaled Deviance	6147	5161.5374	0.8397				
Pearson Chi-Square	6147	5761.4509	0.9373				
Scaled Pearson X2	6147	5761.4509	0.9373				
Log Likelihood		-2580.7687					

LR Statistics For Type 3 Analysis			
Source	DF	Chi-Square	Pr > ChiSq
Age	5	1448.91	<.0001
X1	1	14.61	0.0001
X2	1	19.97	<.0001
X3	1	30.20	<.0001
X4	1	45.62	<.0001
X5	1	23.95	<.0001
épaisseur	3	16.75	0.0008
couleur	5	31.12	<.0001

Analysis Of Parameter Estimates							
Parameter	DF	Estimate	Standard Error	Wald	95% Confidence Limits	Chi-Square	Pr > ChiSq
Intercept	1	1.3745	0.1434	1.0935	1.6556	91.89	<.0001
<=30	1	-3.6202	0.1345	-3.8837	-3.3566	724.63	<.0001
31-35	1	-3.1961	0.1233	-3.4378	-2.9544	671.75	<.0001
36-40	1	-2.2025	0.1039	-2.4061	-1.9988	449.09	<.0001
41-45	1	-1.3685	0.0974	-1.5595	-1.1776	197.30	<.0001
46-50	1	-0.9598	0.1014	-1.1586	-0.7610	89.54	<.0001
>50	1	0.0000	0.0000	0.0000	0.0000	.	.
X1	1	0.4977	0.1244	0.2539	0.7415	16.01	<.0001
X2	1	0.6281	0.1330	0.3675	0.8887	22.31	<.0001
X3	1	-0.4532	0.0865	-0.6227	-0.2837	27.46	<.0001
X4	1	0.8153	0.1102	0.5994	1.0312	54.77	<.0001
X5	1	-0.4323	0.0928	-0.6141	-0.2505	21.72	<.0001
Très fins	1	-0.4598	0.1157	-0.6865	-0.2330	15.80	<.0001
Fins	1	-0.3518	0.0982	-0.5442	-0.1594	12.84	0.0003
Moyens	1	-0.2791	0.0975	-0.4701	-0.0881	8.20	0.0042
Epais	0	0.0000	0.0000	0.0000	0.0000	.	.
roux	1	-0.2751	0.3141	-0.8908	0.3405	0.77	0.3811
blond	1	-0.6806	0.1452	-0.9652	-0.3959	21.96	<.0001
châtain clair	1	-0.3959	0.1055	-0.6027	-0.1891	14.07	0.0002
châtain foncé	1	-0.3141	0.1032	-0.5165	-0.1118	9.26	0.0023
brun	1	-0.1310	0.1120	-0.3506	0.0886	1.37	0.2422
noir	0	0.0000	0.0000	0.0000	0.0000	.	.

Commentaires

- 1) Le rapport de la déviance sur le nombre de degrés de libertés est inférieur à un et tend à valider l'adéquation du modèle aux données.
- 2) La probabilité conditionnelle d'apparition des premiers cheveux blancs augmente avec l'âge. C'est la traduction statistique d'un phénomène quasiment inéluctable dans la population étudiée.
- 3) Les antécédents familiaux vont tous dans le sens attendu.
- 4) Le risque d'apparition des cheveux blancs augmente avec l'épaisseur des cheveux

- 5) Le risque d'apparition des cheveux blancs est d'autant plus important que la couleur naturelle des cheveux est foncée.
- 6) La couleur rousse se positionne de façon singulière entre le châtain foncé et le brun. Ce résultat confirme la spécificité de cette couleur d'un point de vue bio-chimique et montre la nécessité de traiter ce facteur qualitativement.

III.5.5 Utilisation du modèle linéaire généralisé PLS

III.5.5.1 Construction de la première composante PLS

On construit un modèle linéaire généralisé contenant l'âge et chaque prédicteur pris séparément. Les variables qualitatives sont prises en compte dans le modèle dans leur globalité.

Toutes les variables sont significatives (Tableau 30). Ce n'est pas un résultat surprenant dans la mesure où seuls les facteurs de risque significatifs ont été retenus pour cette application. Elles vont donc toutes contribuer à la construction de la première composante T1.

Tableau 30 : Régressions linéaires généralisés de y sur l'âge et chacun des prédicteurs

Variables	Wald		
	ddl	Khi-deux	NS
X1	1	42.53	< 0.0001
X2	1	59.76	< 0.0001
X3	1	35.16	< 0.0001
X4	1	74.05	< 0.0001
X5	1	31.93	< 0.0001
Epaisseur	3	27.87	< 0.0001
Couleur	5	46.93	< 0.0001

Le tableau 31 présente les coefficients de régression a_{1j} de V_j dans la régression linéaire généralisée de y sur l'âge et chaque V_j pris séparément.

La première composante PLS s'écrit en fonction des variables et des coefficients du tableau 31 :

$$T_1 = \sum_j a_{1j} (V_j - \bar{V}_j) / \sqrt{\sum_j a_{1j}^2}$$

Tableau 31 : Régressions linéaires généralisées de y sur l'âge et chaque prédicteur V_j

Variabes : V_j	Coefficients de régression a_{1j}
X1	0.73
X2	0.92
X3	-0.50
X4	0.93
X5	-0.51
Très fins	-0.56
Fins	-0.38
Moyens	-0.28
Epais	0.00
Roux	-0.41
Blond	-0.80
Châtain clair	-0.49
Châtain foncé	-0.40
Brun	-0.19
Noir	0.00

III.5.5.2 Construction de la seconde composante PLS

On construit un modèle linéaire généralisé contenant l'âge, T_1 , et chaque prédicteur pris séparément. Les résultats sont donnés dans le tableau 32. Aucune des variables n'étant significative, seule la composante PLS T_1 est retenue.

Tableau 32 : Régressions linéaires généralisées de y sur l'âge, T_1 et chacun des prédicteurs

Variables	Wald		
	ddl	Khi-deux	NS
X1	1	1.23	0.27
X2	1	1.63	0.20
X3	1	0.41	0.52
X4	1	0.48	0.49
X5	1	0.26	0.61
Epaisseur	3	0.41	0.94
Couleur	5	0.26	0.99

III.5.5.3 Utilisation du modèle linéaire généralisé sur T_1

Les résultats de la régression linéaire généralisée de y sur l'âge et T_1 sont donnés dans le tableau 33.

Remarque :

On peut constater, comme le montre le tableau 34 ci-dessous, que les critères de qualité d'ajustement des modèles cloglog et cloglog PLS sont très proches et conduisent à accepter ces modèles avec des valeurs de la déviance et du Khi-deux de Pearson proches de leurs degrés de liberté.

Tableau 33 : Régression linéaire généralisée de y sur l'âge et T1

Criteria For Assessing Goodness Of Fit							
Criterion	DF	Value	Value/DF				
Deviance	6159	5164.8371	0.8386				
Scaled Deviance	6159	5164.8371	0.8386				
Pearson Chi-Square	6159	5779.5776	0.9384				
Scaled Pearson X2	6159	5779.5776	0.9384				
Log Likelihood		-2582.4185					

Analysis Of Parameter Estimates							
Parameter	DF	Estimate	Standard Error	Wald	95% Confidence Limits	Chi-Square	Pr > ChiSq
<=30	1	-2.9125	0.1041	-3.1165	-2.7085	783.28	<.0001
31-35	1	-2.4855	0.0897	-2.6614	-2.3096	767.06	<.0001
36-40	1	-1.4883	0.0610	-1.6078	-1.3688	595.66	<.0001
41-45	1	-0.6544	0.0498	-0.7521	-0.5567	172.38	<.0001
46-50	1	-0.2500	0.0580	-0.3637	-0.1363	18.56	<.0001
>50	1	0.7060	0.0829	0.5436	0.8684	72.59	<.0001
T1	1	1.6864	0.1036	1.4833	1.8894	264.98	<.0001

Tableau 34 : Adéquation des modèles cloglog et cloglog PLS aux données

	Modèle cloglog			Modèle cloglog PLS		
	ddl	valeur	Valeur/ddl	ddl	valeur	Valeur/ddl
Déviante	6147	5162	0.84	6159	5165	0.84
Khi-deux de Pearson	6147	5761	0.94	9159	5780	0.94

III.5.5.4 Expression du modèle PLS en fonction des variables d'origine

En utilisant l'expression de T1 en fonction des variables d'origine on peut exprimer le modèle linéaire généralisé PLS en fonction des variables d'origine. Les estimations des coefficients des modèles cloglog et cloglog PLS ainsi que leurs intervalles de confiance à 95% (Wald pour le modèle classique et bootstrap pour le modèle PLS) sont très proches. Les résultats des deux modèles sont présentés dans le tableau 35.

Commentaires :

- 1) La méthode de ré-échantillonnage de type "Balanced bootstrap" introduite par Davison en 1986 a été utilisée afin d'obtenir des intervalles de confiance des paramètres. Cette méthode offre de meilleures performances qu'un simple « Uniform bootstrap ».
- 2) L'estimation des intervalles de confiance bootstrap a été faite en sélectionnant les percentiles; l'utilisation de l'estimation bootstrap de la variance des coefficients donne des résultats très comparables.
- 3) Avec un modèle PLS à deux composantes on retrouve à la deuxième décimale près les estimations du modèle classique.

Tableau 35 : Coefficients des modèles cloglog et cloglog PLS à 1 composante en fonction des variables d'origine.

Variables	cloglog				cloglog PLS			
	Parameter estimates	Standard error	Hazard ratio	Wald 95% CI	Parameter estimates	Standard error	Hazard ratio	Bootstrap 95% CI
≤30	-3.62	0.13	0.03	0.02-0.03	-3.65	0.15	0.03	0.02-0.03
31-35	-3.20	0.12	0.04	0.03-0.05	-3.22	0.13	0.04	0.03-0.05
36-40	-2.20	0.10	0.11	0.09-0.14	-2.21	0.11	0.11	0.09-0.13
41-45	-1.37	0.10	0.25	0.21-0.31	-1.38	0.09	0.25	0.21-0.30
46-50	-0.96	0.10	0.38	0.31-0.47	-0.97	0.10	0.38	0.30-0.46
>50	0.00	.	.	.	0.00	0.00	.	.
X1	0.50	0.12	1.65	1.28-2.10	0.59	0.12	1.80	1.45-2.22
X2	0.63	0.13	1.88	1.45-2.44	0.74	0.12	2.09	1.72-2.59
X3	-0.45	0.09	0.64	0.54-0.76	-0.39	0.06	0.67	0.58-0.75
X4	0.82	0.11	2.27	1.82-2.80	0.74	0.12	2.11	1.79-2.97
X5	-0.43	0.09	0.65	0.54-0.78	-0.40	0.07	0.67	0.58-0.77
Très fins	-0.46	0.12	0.63	0.50-0.79	-0.44	0.09	0.64	0.54-0.75
Fins	-0.35	0.10	0.70	0.58-0.85	-0.30	0.08	0.74	0.63-0.87
Moyens	-0.28	0.10	0.76	0.63-0.91	-0.22	0.08	0.80	0.70-0.93
Epais	0.00	.	.	.	0.00	0.00	.	.
Roux	-0.28	0.31	0.76	0.41-1.40	-0.30	0.24	0.74	0.49-1.19
Blond	-0.68	0.15	0.51	0.38-0.67	-0.64	0.13	0.53	0.42-0.64
Châtain clair	-0.40	0.11	0.67	0.55-0.83	-0.39	0.09	0.68	0.56-0.79
Châtain foncé	-0.31	0.10	0.73	0.59-0.90	-0.32	0.10	0.73	0.62-0.84
Brun	-0.13	0.11	0.88	0.70-1.09	-0.15	0.11	0.86	0.72-1.03
Noir	0.00	.	.	.	0.00	.	.	.

III.5.6 Modèle de Cox PLS

Le modèle de Cox (25) peut aussi être utilisé avec des données discrètes (ici la variable durée de vie est l'âge d'apparition des premiers cheveux blancs et prend les valeurs $t = 1$ à 6). Nous avons utilisé l'approximation de Efron pour la prise en compte des ex-æquo. Comme pour le modèle (26) sur le complementary log log une seule composante PLS a été retenue. Les résultats des modèles de Cox classique et Cox PLS sont présentés dans le tableau 36.

Tableau 36 : Coefficients des modèles de Cox classique et Cox PLS à une composante en fonction des variables d'origine

Variables	Cox				Cox PLS			
	Parameter estimates	Standard error	Hazard ratio	Wald 95% CI	Parameter estimates	Standard error	Hazard ratio	Bootstrap 95% CI
X1	0.47	0.12	1.60	1.27-2.02	0.55	0.11	1.72	1.44-2.16
X2	0.58	0.13	1.78	1.39-2.29	0.69	0.11	1.99	1.62-2.36
X3	-0.43	0.08	0.65	0.55-0.77	-0.37	0.06	0.69	0.61-0.77
X4	0.76	0.11	2.15	1.75-2.64	0.69	0.10	2.01	1.64-2.46
X5	-0.41	0.09	0.67	0.56-0.79	-0.39	0.07	0.68	0.61-0.77
Très fins	-0.43	0.11	0.65	0.52-0.81	-0.42	0.08	0.66	0.57-0.79
Fins	-0.33	0.10	0.72	0.60-0.87	-0.29	0.07	0.75	0.66-0.85
Moyens	-0.26	0.09	0.77	0.64-0.93	-0.21	0.07	0.81	0.70-0.95
Epais	0.00	.	.	.	0.00	.	.	.
Roux	-0.26	0.30	0.77	0.42-1.39	-0.30	0.21	0.74	0.46-1.11
Blond	-0.65	0.14	0.52	0.40-0.69	-0.61	0.12	0.54	0.43-0.69
Châtain clair	-0.38	0.10	0.69	0.56-0.84	-0.37	0.09	0.69	0.56-0.81
Châtain foncé	-0.30	0.10	0.74	0.61-0.90	-0.30	0.09	0.74	0.62-0.89
Brun	-0.13	0.11	0.88	0.71-1.09	-0.15	0.10	0.86	0.71-1.06
Noir	0.00	.	.	.	0.00	.	.	.

Commentaires :

- 1) Comme on pouvait s'y attendre les résultats du modèle de Cox et du cloglog sont très proches.
- 2) Les remarques faites précédemment dans la comparaison des résultats des modèles cloglog et cloglog PLS s'appliquent ici.
- 3) Les coefficients sont estimés par maximisation de la vraisemblance partielle (Cox, 1972).

IV Conclusion

La re-formulation de l'algorithme de régression PLS que nous avons présentée dans cette note présente plusieurs avantages.

- 1) Elle permet de relier la régression PLS aux procédures habituelles de régressions simple et multiple et d'utiliser en régression PLS les tests habituels à ces méthodes. Ces tests statistiques permettent d'identifier les variables explicatives ne contribuant pas à la construction des composantes PLS et par conséquent ayant peu d'influence sur la variable à expliquer. Une composante PLS est considérée comme non significative lorsque aucune variable explicative n'a un poids significatif dans sa construction. Sur l'exemple présenté dans la section II notre approche a conduit à la même sélection de variables que l'utilisation de la régression PLS usuelle pas à pas descendante. Il faudrait bien sûr valider l'approche présentée sur une plus grande variété d'exemples. Il faudrait aussi comparer notre méthode de sélection des variables explicatives à des approches présentées dans Forina, Casolino & Pizarro Millan (1999), Gauchi et Chagnon (2001), Höskuldsson (2001), Lingren, Geladi, Rannar & Wold (1994), Sarabia, Ortiz, Sánchez & Herrero (2001).
- 2) Dans la pratique, dans les cas de forte multi-colinéarité, il est habituel d'utiliser la régression multiple pas à pas. Cette méthode a l'inconvénient de conduire à l'abandon de variables explicatives très corrélées à la variable à expliquer et donc importantes pour le chercheur. La régression PLS permet au contraire de conserver dans le modèle toutes les variables à fort pouvoir explicatif.
- 3) En cas de données manquantes les composantes PLS sont calculées en utilisant le principe de l'algorithme NIPALS. S'il y a des données manquantes les composantes PLS sont cependant corrélées. L'algorithme de régression PLS d'origine ne prend pas en compte cette situation. Notre formulation au contraire tient compte de la corrélation entre les composantes PLS en utilisant la régression multiple.
- 4) Notre présentation de la régression PLS se généralise de manière immédiate à la régression linéaire généralisée. Des premiers résultats ont déjà été obtenus en régression logistique PLS (Esposito Vinzi & Tenenhaus, 2001) et en données de survie avec le modèle de Cox PLS (Bastien & Tenenhaus, 2001).

Références

1. Allison, Paul D. (1995) : *Survival Analysis Using the SAS System : A practical guide*, SAS Inc, Cary, NC.
2. Bastien P., Tenenhaus M. (2001) : PLS generalized linear regression. Application to the analysis of life time data. In *PLS and Related Methods, Proceedings of the PLS'01 International Symposium*, Esposito Vinzi V., Lauro C., Morineau A. & Tenenhaus M. (Eds). CISIA-CERESTA Editeur, Paris, p. 131-140.
3. Cox, D.R. (1972). *Regression models and life-tables (with discussion)*. Journal of the Royal Statistical Society, Series B, 34, 187-220.
4. Davison, A. C., Hinkley, D. V. and Schechtman, E. (1986). *Efficient bootstrap simulations*, Biometrika, 73, 555-566.
5. Efron B., Tibshirani R.J. (1993) - *An introduction to the Bootstrap*. Chapman and Hall, New York.
6. Esposito Vinzi V., Tenenhaus M. (2001) : PLS Logistic Regression. In *PLS and Related Methods, Proceedings of the PLS'01 International Symposium*, Esposito Vinzi V., Lauro C., Morineau A. & Tenenhaus M. (Eds). CISIA-CERESTA Editeur, Paris, p. 117-130.
7. Forina M., Casolino C. Pizarro Millan C. (1999) : Iterative Predictor Weighting PLS (IPW): A technique for the elimination of useless predictors in regression problems. *Journal of Chemometrics*, 13, 165-184.
8. Gauchi J.-P., Chagnon P. (2001) : Comparison of selection methods of explanatory variables in PLS regression with application to manufacturing process data, in *Special issue of Chemometrics & Intelligent Laboratory Systems on PLS* (in press).
9. Hercberg, S. et al. (1997) : *A primary prevention trial of nutritional doses of antioxydant vitamins and minerals on cardiovascular diseases and cancers in general populations : The SUVIMAX Study. Design, methods and participants characteristics. Control Clin. Trials*.
10. Höskuldsson A. (2001) : Variable and subset selection in PLS regression. *Chemometrics & Intelligent Laboratory Systems*, 55, 23-38.
11. Kettaneh-Wold N. (1992) : Analysis of mixture data with partial least squares. *Chemometrics & Intelligent Laboratory Systems*, 14, 57-69.
12. Lingren F., Geladi P., Rannar S., Wold S. (1994) : Interactive Variable Selection (IVS) for PLS. Part I: Theory and Algorithms. *Journal of Chemometrics*, 8, 349-363.
13. Marx B.D. (1996) : Iteratively Reweighted Partial Least Squares Estimation for Generalized Linear Regression. *Technometrics*, vol. 38, n°4, pp. 374-381.
14. Prentice R.L. and Gloeckler L.A. (1978). *Regression Analysis of grouped survival data with application to breast cancer data*, *Biometrics* 34, 57-67.
15. Sarabia L.A., Ortiz M.C., Sánchez M.S., Herrero A. (2001) : Dimension-wise selection in partial least squares regression with a bootstrap estimated signal-noise relation to weight the loadings. In *PLS and Related Methods, Proceedings of the PLS'01 International Symposium*, Esposito Vinzi V., Lauro C., Morineau A. & Tenenhaus M. (Eds). CISIA-CERESTA Editeur, Paris, p. 327-339.
16. Shenk J.S., and Westerhaus M. O (1991) : Population structuring of near infrared spectra and modified partial least squares regression. *Crop Sci.* 31:1548-1555.
17. Tenenhaus M. (1998) : *La régression PLS*. Technip, Paris
18. Umetri AB (2002) : *SIMCA-P 10, User Guide and Tutorial* Umetri AB, Box 7960, S-90719 Umeå, Sweden.
19. Wold S., Martens & Wold H. (1983) : The multivariate calibration problem in chemistry solved by the PLS method. In *Proc. Conf. Matrix Pencils*, Ruhe A. & Kåstrøm B. (Eds), March 1982, Lecture Notes in Mathematics, Springer Verlag, Heidelberg, p. 286-293.
20. Zelterman D. (1999) : *Models for discrete data*. Oxford Science Publications, New York.